

1. はじめに

都市活動の立地モデルを作る場合、地価をまず推定し、そのうえで住宅、商業、工業等の各活動を立地配分する形式が通常とされる。したがってすぐれた地価推定モデルが必要となる。地価上昇率は、絶対値としては景気変動等の影響を強く受け、その性質を把握にくいため、都市圏内の空間的分布特性については安定的な性格を持つのではないかと考えられる。本研究では都市圏の空間的構造と地価上昇率の関係に着目し、ひとつつの概念的モデルによる考察を試みるとともに、東京都市圏を対象とした実証的分析を行なった。用いた資料は昭和45～49年度建設省地価公示であり、後に述べる土地利用形態は、鑑定者の主観評価結果を筆者なりとまとめたものである。なお、ここでは住宅地地価の分析を主として取つており、商業地価、工業地価についてはデータの結果のみを述べることとする。また地価はいずれも1畝あたりの価格で表わす。

2. 住宅地価上昇率に関する概念モデル

資本還元の立場から地価を考察した場合、地区上のt年度の地価を $P_e(t)$ 、地代を $R_e(t)$ 、割引率を ρ とするときつづけた後定つもとで次式が得られる。

$$P_e(t+1) - P_e(t) = \rho P_e(t) - R_e(t) \quad (1)$$

しかし規定には、土地需要者あるいは供給者が地代 $R_e(t)$ を受けることは考えられなく、また地代 $R_e(t)$ を得ることも困難である。

より基本的には、地価が土地利用によつて得られる利益または効用の土地への帰属価値と考えると、年度 t から $t+w$ 年度に予想されるものを $\tilde{P}_e(t+w)$ とすると、ある需要者の想定する地価 $\tilde{P}_e(t)$ は次式となる。

$$\tilde{P}_e(t) = \sum_{w=1}^{\infty} \tilde{P}_e(t+w) e^{-\rho w} \quad (2)$$

一方、土地所有者は後の想定する需要者のうち最大の $\tilde{P}_e(t)$ を示す者に土地を売つうとして、年度 $t+1$ より $t+w$ の需要者が見あたらぬ場合、自分自身がその需要者にならぬ、すなわち留保需要者として後に土地を購入する。したがって土地所有者の予想する $\tilde{P}_e(t+w)$ の系列によつて地価 $\tilde{P}_e(t)$ が次する。この予想は、主觀的であり、それほど長期にわたるとは思えないが、その予想はただけではなく、都市圏の空間的構造が反映されたものと考えられる。以下式(2)によつて、都市圏の各地区の地価上昇率を考察する。まず、持続的な地図を達成ために、地価と土地利用および都心からの距離について、基礎的な実証分析の結果を述べておく。

まず、戸建住宅では、限界地の位置はほぼ90分圏で、地価は4～6万円程度である。それ以後は明確な限界地は現われず、土地利用形態、地価ともに都心からの時間距離に沿つて徐々に変化する。30分圏からマンションのある地区が現われ、また全体としては商業地の割合も増加する。マンションの見られる地点の地価はほとんど20万円以上である。以上のことから、次の3つターゲットについて考察を行なうこととする。

① 戸建住宅限界地以前の地区

限界地の直前では、農業 $\tilde{P}_e(t+w)$ の土地利用は限られるが、限界地を越えると $\tilde{P}_e(t+w)$ は急に増加するはずである。それ以後はほぼ一定で上昇すると考えられる。限界地に達するまでの時間 α_e とすると、(2)式による地価は次式で示される。

$$\tilde{P}_e(t) = (\beta - \alpha + \theta \alpha_e) e^{-\rho \alpha_e} / \rho \quad (3)$$

限界地は効用に向けた年々拡大してゆくので、時間と都心までの距離をオーバーライフセセスとし、 $\beta - \alpha + \theta$ にかかへて大きくなることから、都心に近づくほど地価と地価上昇率が増大することがわかる。

② 戸建住宅限界地以後の一般住宅地区

戸建住宅限界地を越えると、住宅地としての土地利用は距離的にも、地価的にも徐々にしか変化しない。マンションや都心商業地の限界地を越えるには時間がかかり

予想範囲に入らないと思われる。このような住宅地では、地価上昇は1戸建住宅限界の移動による相対的な位置変化しか望めない。 $\tilde{R}_e(t+w)$ の値は図

-2のように予想され、限界比を過ぎてからの時間を b_2 とすると(2)式による地価は次式で示される。

$$\tilde{R}_e(t) = (\alpha + \theta b_2)/\rho + \theta/\rho^2 \quad (4)$$

①の場合と同様に考えると、都心に近くにつれ地価は上昇するが、地価上昇率は低下する。また①で α と θ は近づいた極限地と②で b_2 を0に近づいた極限地を比較すると、地価は同じであるが、上昇率は後者のほうが小さい。

③マンションまたは都心商業地限界地直前の地区

マンションまたは都心商業地の限界地到來が予想期間内に現れる場合、 $\tilde{R}_e(t+w)$ の値は図-3のように考えられる。土地利用別の地価の距離に対する減

少配分の分析結果より、図の中は θ より大きいと考えられる。限界比までの時間を c_2 とすると、(2)式による地価は次式で示される。

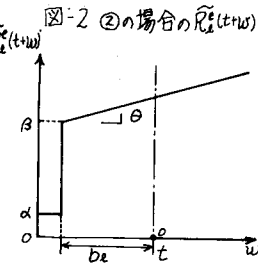
$$\tilde{R}_e(t) = \frac{1}{\rho} \left\{ \gamma - \theta c_2 + (\delta - \gamma + \frac{\phi - \theta}{\rho} + \phi(c_2) e^{-\rho c_2}) \right\} \quad (5)$$

(ケース2では $\int = \delta$)

これまでと同様に考えると都心に近くほど地価は上昇するが、地価上昇率はパラメータの値により異なり、現在のところモデルのうちの判定は困難である。また、②から③への移行が不連続な場合、移行の際、地価、地価上昇率はともに増加する。

3. 住宅地地価上昇率の実証分析

各年度の地価上昇率と都心からの時間距離の関係を図-4に示す。地価上昇率は前年度上昇率の形で示されている。全体的には都心に向っての増加傾向があるがわかる。都心から30分圏までの値は年度によつて異なり、46年から48年にかけては40分圏に対して相対



$$\tilde{R}_e(t) = (\alpha + \theta b_2)/\rho + \theta/\rho^2 \quad (4)$$

的に大きくなるが49年では逆に小さくなる。40分圏以降は毎年とも郊外に向って増加傾向がみられる。1戸建住宅の限界地と思われる地価上昇率のピークは、49年には80~90分圏にはっきり現われる(図-4 住宅地地価上昇率)。48年ではみられない。46, 47, 49年では、都心から30分圏で一度下がり90分圏で再び増加する。70分圏と90分圏の高さの値は46, 47, 49年をみると、郊外への移動傾向があるとも思われる。概念モデルと対応させると、(1)の場合は底が見られたが、(2), (3)の場合はさらに検討を要すると思われる。特に全般的に地価上昇の著しかった48年度の値は、他の年度と傾向が異なることが注目される。図-5は上地利用形態別に平均立地点と平均地価上昇率をプロットしたものである。全体として郊外でみられる土地利用の値が大きいが、マンションのある地区の値は相対的にかなり大きい。都心近くの住宅地地価に大きい影響を及ぼすことが推察される。

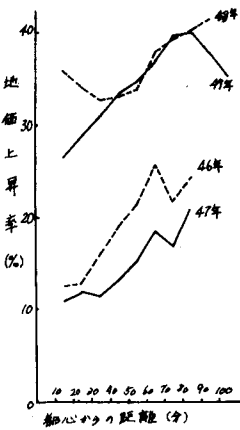
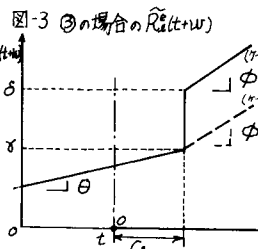


図-5 土地利用形態別
地価上昇率(住宅)



4. 商業地の地価上昇率
図-6は距離と上昇率の関係を示す。46, 47と48, 49年ではかなり異なっているが、後二者では都心での上昇傾向が認められる。商業立地特性との関係で考察する必要がある。

5. おわりに

今回の分析で住宅地価について

ではある程度のことがわかったが、今後はモデル、実証分析とともにより考察を含め、有意義な地価推定モデルを作りたい。

- 1) 天野・柏谷：安徽：都市圈モデルの構成に関する研究
本講演会にて発表
- 2) 小宮：“土地の価格” 地域経済と交通 東大出版会